

Exercice 16

$$f: S^1 \rightarrow S^1$$

$$\theta \mapsto \theta + \Omega - \frac{k}{2\pi} \sin 2\pi\theta \quad k \geq 0$$

Si marquons que  $f'(\theta) = 1 - k \cos 2\pi\theta$ ,

donc si  $k < 1$ ,  $f$  est strictement croissante et inversible.

En fait, c'est le domaine  $0 \leq k < 1$  qui est particulièrement intéressant pour le phénomène d'accordage des fréquences.

1) Points fixes: solutions de  $f(\theta_0) = \theta_0 + p$ ,  $p \in \mathbb{Z}$

$$\Rightarrow \Omega - \frac{k}{2\pi} \sin 2\pi\theta_0 = p$$

$$\Rightarrow \sin(2\pi\theta_0) = \frac{2\pi(\Omega-p)}{k}$$

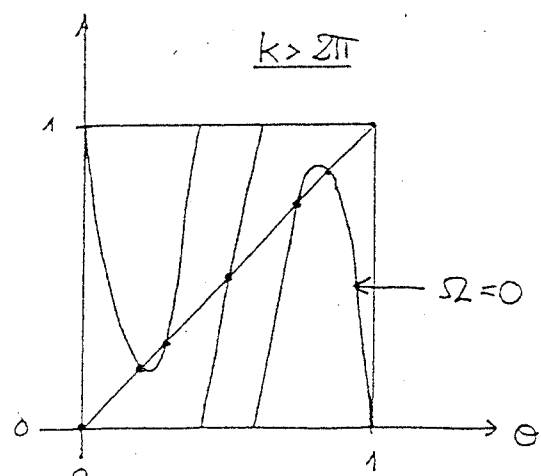
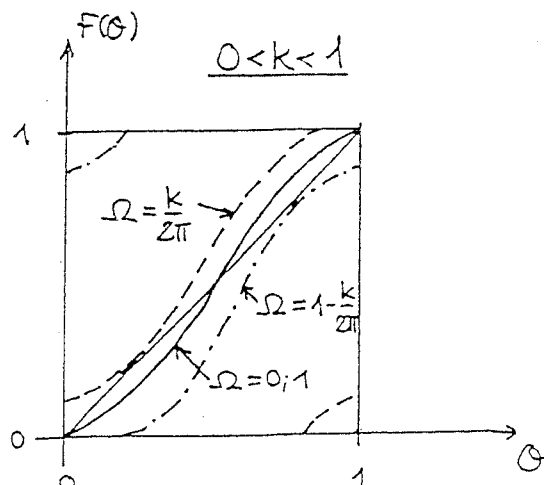
Il existe des solutions si  $\left| \frac{2\pi(\Omega-p)}{k} \right| \leq 1 \Leftrightarrow |\Omega-p| \leq \frac{k}{2\pi}$

Comme  $p \in \mathbb{Z}$  et  $\theta \in S^1$ , on peut se restreindre aux  $\Omega \in [0, 1]$ .

Dans le domaine qui nous intéresse,  $k < 1 < \pi$ . On a donc deux pts fixes

$$\begin{cases} \theta_0 = \frac{1}{2\pi} \text{Arc sin } \frac{2\pi\Omega}{k}, \frac{1}{2} - \frac{1}{2\pi} \text{Arc sin } \frac{2\pi\Omega}{k} & \text{si } 0 \leq \Omega \leq \frac{k}{2\pi} \\ \theta_0 = \frac{1}{2\pi} \text{Arc sin } \frac{2\pi(\Omega-1)}{k}, \frac{1}{2} - \frac{1}{2\pi} \text{Arc sin } \frac{2\pi(\Omega-1)}{k} & \text{si } 1 - \frac{k}{2\pi} \leq \Omega \leq 1 \end{cases}$$

Si  $k > 2\pi$ , on peut avoir d'autres solutions correspondant à d'autres valeurs de  $p$  que 0 et 1.



Les dessins montrent que si  $0 < k < 1$ , il y a une solution stable et une instable, qui disparaissent par bifurcation noeud-col lorsque  $\Omega = \frac{k}{2\pi}$  ou  $\Omega = 1 - \frac{k}{2\pi}$ . En effet, on a

$$\begin{aligned} F'(\theta_0) = 1 &\Rightarrow \cos 2\pi\theta_0 = 0 \\ &\Rightarrow \theta_0 = \frac{1}{4}, \frac{3}{4} \\ &\Rightarrow \sin 2\pi\theta_0 = \pm 1 \\ &\Rightarrow \Omega - p = \pm \frac{k}{2\pi} \end{aligned}$$

Les points fixes ne se déstabilisent donc par bifurcation noeud-col que sur les bords des domaines d'existence de points fixes. Si  $k < 1$ , on a toujours  $F'(\theta) > 0$ , c'est donc la seule bifurcation possible.

Si  $k \geq 2$ , par contre, il peut également y avoir des bifurcations sous-harmoniques :

$$\begin{aligned} F'(\theta_0) = -1 &\Rightarrow k \cos 2\pi\theta_0 = 2 \\ &\Rightarrow \sin 2\pi\theta_0 = \pm \sqrt{1 - \left(\frac{2}{k}\right)^2}, \quad \cos 2\pi\theta_0 > 0 \\ &\Rightarrow \Omega - p = \pm \frac{k}{2\pi} \sqrt{1 - \left(\frac{2}{k}\right)^2} \\ &\Rightarrow k = 2 \sqrt{1 + \pi^2 (\Omega - p)^2} \end{aligned}$$

(à une solution sur deux est toujours instable)

2) En résumé, on a :

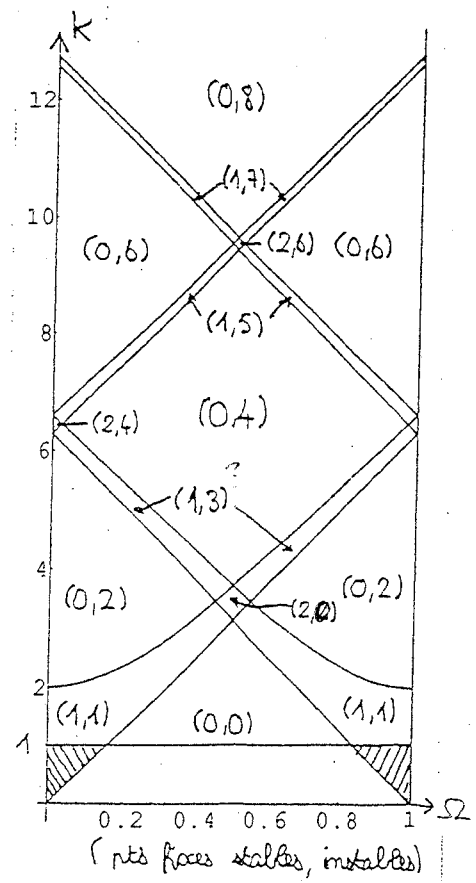
$0 < k < 1$  : (le domaine qui nous intéresse)

Un pt fixe stable et un instable si  $0 \leq \Omega \leq \frac{k}{2\pi}$  ou  $1 - \frac{k}{2\pi} < \Omega \leq 1$ , aucun pt fixe si  $\frac{k}{2\pi} < \Omega < 1 - \frac{k}{2\pi}$

$1 \leq k < 2$  : L'application n'est plus inversible, le nombre de points fixes est inchangé.

$k > 2$  : Le pt fixe stable devient instable par bf. sous-harmonique si  $k > 2 \sqrt{1 + \pi^2 \Omega^2}$  ou si  $k > 2 \sqrt{1 + \pi^2 (\Omega - 1)^2}$

$k \geq 2$  : Il y a toujours au moins deux pts fixes.



À partir de  $k > 2\pi$ , de nombreux points fixes apparaissent.

D'une manière générale, les points fixes apparaissent par paires stable-instable dans des bifurcations noeud-nd lorsque  $k = 2\pi \lfloor \Omega - p \rfloor$ ; le point instable reste toujours instable, et le point stable perd sa stabilité dans une bifurcation sous-harmonique lorsque  $k = 2\sqrt{1 + \pi^2(\Omega - p)^2}$ .

- 3) Nous nous intéressons plus particulièrement aux langues d'Arnold définies par  $0 < k < 1$ ,  $0 \leq \Omega \leq \frac{k}{2\pi}$  et  $0 < k < 1$ ,  $1 - \frac{k}{2\pi} \leq \Omega \leq 1$ . On vérifie facilement que  $\hat{\Omega} = 0$  ou  $\hat{\Omega} = 1$  dans ces deux domaines, respectivement.

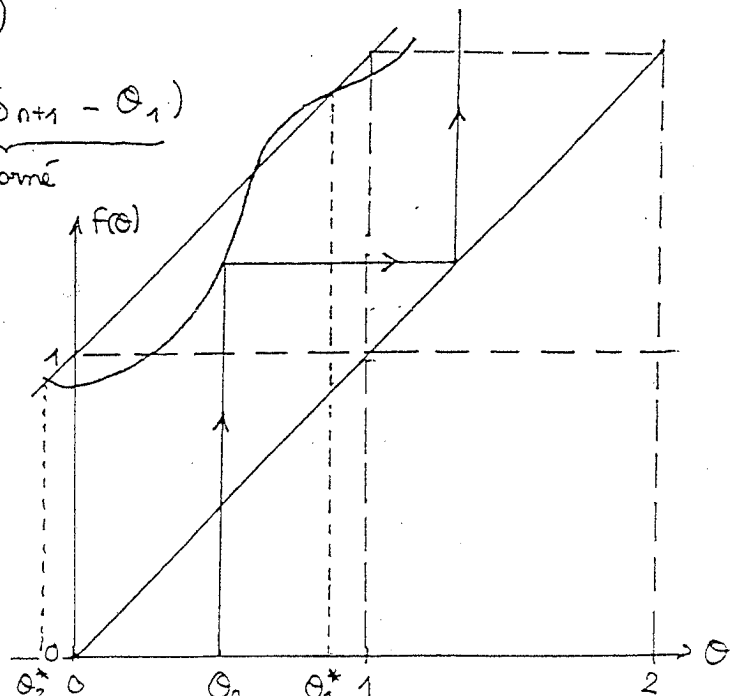
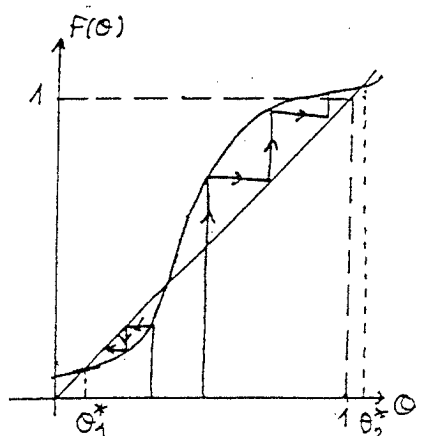
Dans le premier cas, presque toutes les orbites convergent vers  $\theta_1^*$  ou  $\theta_2^* = \theta_1^* + 1$ , c'est-à-dire  $\theta_n = \theta_i^* + s_n$  avec  $i=1$  ou  $2$  et  $\lim_{n \rightarrow \infty} s_n = 0$ . Donc

$$\begin{aligned}\hat{\Omega} &= \lim_{n \rightarrow \infty} \frac{1}{n} \sum_{j=1}^n (\theta_{j+1} - \theta_j) \\ &= \lim_{n \rightarrow \infty} \frac{1}{n} (\theta_{n+1} - \theta_1) \\ &= \lim_{n \rightarrow \infty} \frac{1}{n} (\underbrace{\theta_i^* + s_{n+1} - \theta_1^*}_{\text{borné}}) \\ &= 0\end{aligned}$$

Dans le second cas, on a deux points  $\theta_1^*$  et  $\theta_2^* = \theta_1^* - 1$  tels que  $F(\theta_i^*) = \theta_i^* + 1$  et  $\theta_n = F^n(\theta_i^*) + s_n = \theta_i^* + n + s_n$  avec  $\lim_{n \rightarrow \infty} s_n = 0$ .

Donc

$$\begin{aligned}\hat{\Omega} &= \lim_{n \rightarrow \infty} \frac{1}{n} (\theta_{n+1} - \theta_1) \\ &= \lim_{n \rightarrow \infty} \frac{1}{n} (\theta_i^* + n + s_{n+1} - (\theta_i^* + 1 + s_1)) \\ &= \lim_{n \rightarrow \infty} \frac{1}{n} (n + \underbrace{s_{n+1} - s_1}_{\text{borné}}) = 1\end{aligned}$$



4) En posant  $\Omega = \frac{1}{2} + \omega$ , on a

$$f(\theta) = \theta + \frac{1}{2} + \omega - \frac{k}{2\pi} \sin 2\pi\theta$$

$$f^2(\theta) = f(\theta) + \frac{1}{2} + \omega - \frac{k}{2\pi} \sin 2\pi f(\theta)$$

$$= \theta + 1 + 2\omega - \frac{k}{2\pi} \sin 2\pi\theta - \frac{k}{2\pi} \underbrace{\sin 2\pi \left( \theta + \frac{1}{2} + \omega - \frac{k}{2\pi} \sin 2\pi\theta \right)}_{*}$$

Sur  $k$  petit, on a

$$\begin{aligned} * &= \sin 2\pi \left( \theta + \frac{1}{2} + \omega \right) - \frac{k}{2\pi} \sin 2\pi\theta \cos \left( \theta + \frac{1}{2} + \omega \right) \cdot 2\pi + O(k^3) \\ &= - \sin 2\pi(\theta + \omega) + k \sin 2\pi\theta \cos 2\pi(\theta + \omega) + O(k^3) \end{aligned}$$

$$\Rightarrow f^2(\theta) = \theta + 1 + 2\omega + \frac{k}{2\pi} (\sin 2\pi(\theta + \omega) - \sin 2\pi\theta) - \frac{k^2}{2\pi} \cos 2\pi(\theta + \omega) \sin 2\pi\theta + O(k^3)$$

Prenons maintenant  $|\omega|$  petit, donc

$$\sin 2\pi(\theta + \omega) = \sin 2\pi\theta + (2\pi) \omega \cos 2\pi\theta + O(\omega^2)$$

$$\cos 2\pi(\theta + \omega) = \cos 2\pi\theta - (2\pi) \omega \sin 2\pi\theta + O(\omega^2)$$

On obtient donc

$$f^2(\theta) = \theta + 1 + 2\omega + 2\pi \omega k \cos 2\pi\theta - \frac{k^2}{2\pi} \underbrace{\cos 2\pi\theta \sin 2\pi\theta}_{\frac{1}{2} \sin 4\pi\theta} + O(k^3, k^2\omega, \omega^2)$$

L'équation  $f^2(\theta) = \theta + 1$  donne

$$2\omega (1 + \pi k \cos 2\pi\theta) = \frac{k^2}{4\pi} \sin 4\pi\theta + O(k^3, k^2\omega, \omega^2)$$

$$\Rightarrow 2\omega = \frac{k^2}{4\pi} \sin 4\pi\theta + O(k^3, k^2\omega, \omega^2)$$

$$\text{car } (1 + \alpha k)^{-1} = 1 + O(k)$$

Comme  $|\sin 4\pi\theta| < 1$ , on aura des solutions si  $|\omega| < \frac{k^2}{8\pi}$

La largeur de la 2<sup>e</sup> longue d'Arnold est donc de l'ordre  $\frac{k^2}{4\pi}$ .

On peut montrer que les q<sup>e</sup> longues d'Arnold (i.e. les domaines tels qu'il existe  $\theta_0$  tel que  $f^q(\theta_0) = \theta_0 + p$ ) sont de largeur  $O(k^q)$ . Ces longues suivent une progression géométrique, et on comprend que leur somme puisse converger, bien que  $q \rightarrow \infty$ .

